

Discinesia ciliar primária*

JOSÉ WELLINGTON ALVES DOS SANTOS¹, ALAND WALDOW², CLAUDIO VLADIMIR CORNELIUS DE FIGUEIREDO², DIEGO ROSSI KLEINUBING², SEVERO SALLES DE BARROS³

Discinesia ciliar primária é uma doença autossômica recessiva caracterizada pela história de infecções repetidas do trato respiratório superior e inferior, otite média, bronquite e rinossinusite, associada a *situs inversus* na metade dos casos. O diagnóstico é estabelecido pela análise ciliar ultra-estrutural de espécimes respiratórios, após a exclusão inicial de outras doenças, como fibrose cística, deficiência de α -1-antitripsina, imunodeficiências (IgG, neutrófilos e complemento) e síndrome de Young. O propósito deste artigo é revisar os achados clínicos, o diagnóstico e o manejo da discinesia ciliar primária, incluindo um fluxograma diagnóstico. (*J Pneumol* 2001;27(5):262-268)

Primary ciliary dyskinesia

Primary ciliary dyskinesia is an autosomal recessive disorder characterized by a history of recurrent upper and lower respiratory tract infections with chronic otitis media, bronchitis and rhinosinusitis, associated with situs inversus in 50% of cases. The diagnosis is established by ciliary ultrastructural analysis of respiratory specimens, after ruling out some disorders as cystic fibrosis, α -1 anti-trypsin deficiency, immune deficiencies (IgG, neutrophils and complement) and Young's syndrome. The purpose of this paper is to review the clinical features, diagnosis and management of primary ciliary dyskinesia, including a diagnostic algorithm.

Descritores – Discinesia ciliar. *Situs inversus*. Diagnóstico.

Key words – Ciliary dyskinesia. *Situs inversus*. Diagnosis.

INTRODUÇÃO

A discinesia ciliar primária é uma doença hereditária caracterizada por anormalidades ultra-estruturais ciliares que comprometem a atividade ciliar normal, com consequências diretas sobre o *clearance* mucociliar, predispondo a infecções respiratórias repetidas e resultando em doença obstrutiva crônica do trato respiratório. Sua prevalência é de aproximadamente 1:20.000, segue um padrão autossômico recessivo de transmissão, acomete ambos os sexos e não apresenta predileção por grupos

Siglas e abreviaturas utilizadas neste trabalho

DCP – Discinesia ciliar primária

SARRN – Síndrome da angústia respiratória do recém-nascido

TCAR – Tomografia computadorizada de alta resolução

raciais⁽¹⁾. Os cromossomos 6, 7 e 19 parecem estar envolvidos em sua patogênese, porém é uma condição geneticamente heterogênea e, provavelmente, mais de uma mutação seja responsável por seu fenótipo^(1,2).

Siewert, em 1904, descreveu o caso de um jovem com *situs inversus*, bronquiectasias e tosse crônica desde a infância⁽³⁾. Em 1933, Kartagener caracterizou a tríade de *situs inversus*, bronquiectasias e sinusopatia crônica como uma entidade clínico-patológica distinta⁽⁴⁾. Posteriormente, defeitos na ultra-estrutura ciliar foram relacionados a defeitos ultra-estruturais da cauda dos espermatozoides de homens inférteis com doença pulmonar e o termo síndrome dos cílios imóveis foi proposto por Afzelius⁽⁵⁾. Sleigh, em 1980, sugeriu o termo discinesia ciliar primária ao observar que os cílios são, na maioria das vezes, móveis, mas com movimento incoordenado⁽⁶⁾. Mais recentemente, têm sido descritas variantes da DCP que se apresentam com ultra-estrutura normal, porém com a freqüência dos batimentos reduzida ou com defeitos de orientação⁽⁷⁻⁹⁾.

* Trabalho realizado na Disciplina de Pneumologia da Universidade Federal de Santa Maria (RS).

1. Professor Adjunto.

2. Médico Residente.

3. Professor Aposentado, setor de Microscopia Eletrônica.

Endereço para correspondência – Prof. Dr. José Wellington Alves dos Santos, Rua Venâncio Aires, 2.020/403 – 97010-004 – Santa Maria, RS. Tel. (55) 225-3018; Fax (55) 220-8005; E-mail: Well@vant.com.br

Recebido para publicação em 12/3/01. Aprovado, após revisão, em 3/5/01.

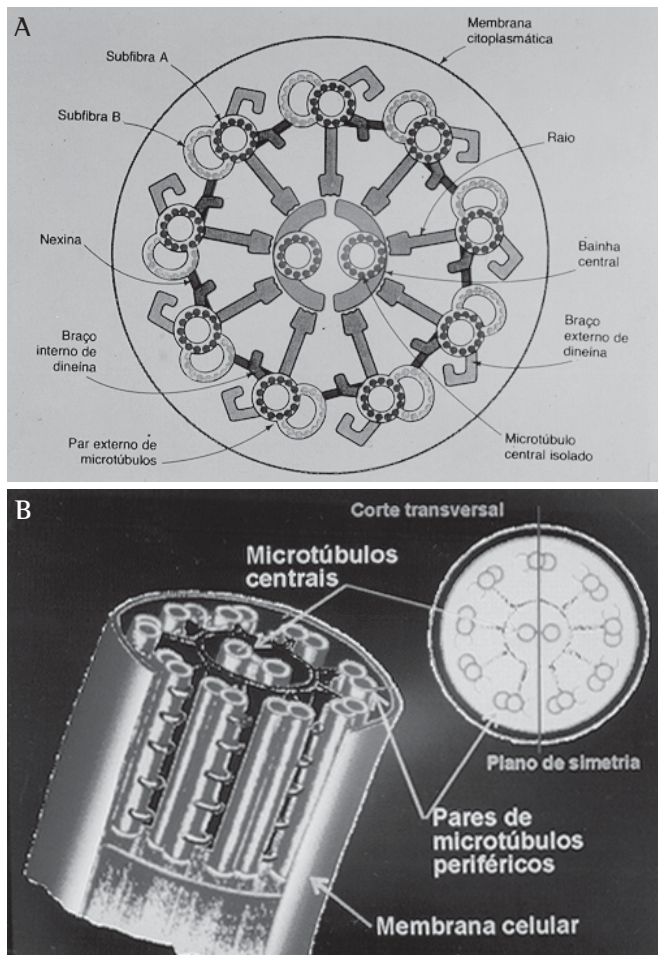


Figura 1 – A) Corte transversal ciliar, esquema ilustrativo. B) Corte longitudinal ciliar, esquema ilustrativo.

ULTRA-ESTRUTURA E FUNÇÃO CILIAR

O epitélio colunar pseudo-estratificado ciliado reveste o trato respiratório desde o terço posterior das fossas nasais até os bronquiólos, incluindo seios paranasais e ouvido médio^[10]. Cada célula ciliada contém cerca de 200 cílios de tamanho uniforme, com comprimento de 6µm e diâmetro de 0,3µm^[10].

O cílio possui estrutura tubular formada por uma membrana externa própria, com nove pares de microtúbulos periféricos e um par central (Figuras 1A e 1B)^[5]. As pontes de filamentos radiais unem os pares periféricos aos centrais, e as pontes de nexina ligam os pares periféricos entre si, conferindo mobilidade e resistência ao conjunto^[5]. Cada par periférico de microtúbulos é dotado de dois braços de dineína, um externo, responsável pela freqüência dos batimentos, e outro interno, que atua na forma de onda dos movimentos^[5]. A estabilidade do conjunto é reforçada pelo pé basal, uma estrutura tubular localizada na

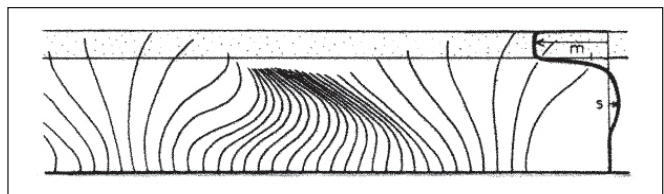


Figura 2 – Ilustração de batimento ciliar em formato de onda

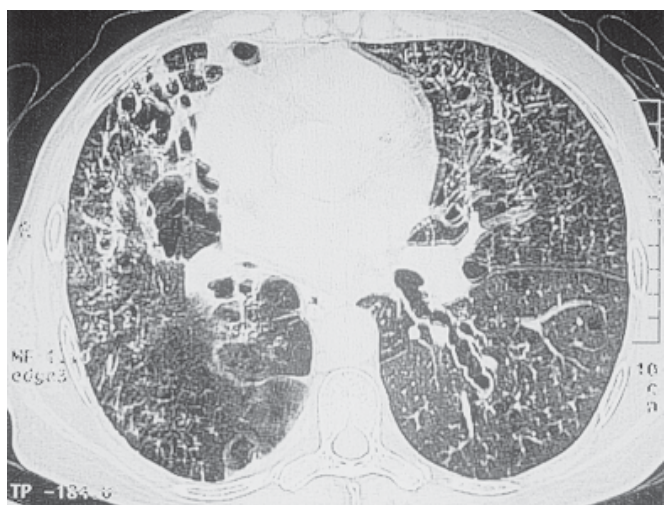


Figura 3 – TCAR de tórax: bronquiectasias difusas em mulher de 52 anos com diagnóstico de DCP.

base do cílio e que também é responsável pela orientação ciliar^[11].

O movimento ciliar resulta da interação dos braços de dineína com o microtúbulo adjacente e é dividido em uma primeira fase de “batida” e uma segunda fase de “recuo”^[12] (Figura 2). Os cílios humanos normais geralmente batem de forma rítmica, rápida e com freqüência de aproximadamente 12 hertz na traquéia e oito hertz no bronquiolo, aumentando conforme a proximidade das vias aéreas centrais^[12].

MANIFESTAÇÕES CLÍNICAS E ALTERAÇÕES RADIODIAGNÓSTICAS

Nos primeiros anos de vida, o acometimento da via aérea superior e ouvido médio predomina, as manifestações variam desde rinorréia leve a sinusite e otite média de repetição, sendo os sintomas usualmente recorrentes^[13,14].

Com a progressão da doença, surgem sintomas de infecção de trato respiratório inferior e o desenvolvimento de complicações como bronquiectasias, hipocratismo digital e déficit de crescimento^[15]. A tríade clássica de sinu-sopatia, bronquiectasia e *situs inversus* está presente em

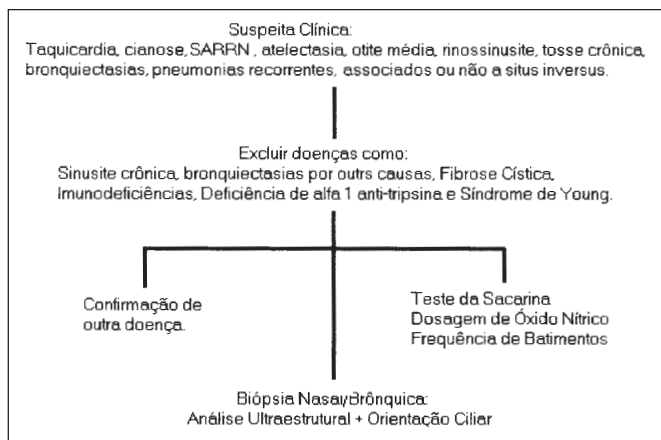


Figura 4 – Fluxograma para investigação de DCP

aproximadamente metade dos pacientes, constituindo a síndrome de Kartagener⁽¹⁵⁾.

No indivíduo adulto, pode apresentar-se como tosse produtiva crônica, sinusopatia crônica e otite média de repetição, mesmo na ausência de *situs inversus*⁽¹⁶⁾. Infertilidade masculina pode ser a queixa predominante na presença ou não de sintomas respiratórios, uma vez que o curso da doença é variável e alguns indivíduos podem atingir a vida adulta com poucos sintomas respiratórios⁽¹⁷⁾.

As alterações radiológicas são pouco específicas. À radiografia de seios da face evidenciam-se alterações como pansinusite, pólipos nasais, opacificação e níveis hidroaéreos; e, à radiografia de tórax, pode-se visualizar aumento da trama broncovascular, espessamento brônquico, hiperinsuflação, consolidações e atelectasias^(18,19). A tomografia computadorizada de alta resolução de tórax tem especial valor na avaliação de bronquiectasias, demonstrando a localização característica em lobo médio e lobos inferiores pulmonares. Quanto ao tipo, as bronquiectasias cilíndricas são encontradas em maior número em relação às císticas e varicosas, porém não constituem um padrão característico da doença, uma vez que também podem ser encontradas em outras desordens^(19,20) (Figura 3).

DIAGNÓSTICO

A partir da suspeita clínica, alguns exames com valor presuntivo podem ser realizados, como o teste da sacarina, que avalia indiretamente o *clearance* mucociliar; a dosagem de óxido nítrico exalado, que se encontra com níveis reduzidos; e a freqüência do batimento ciliar, que observada à microscopia óptica em material obtido através de biópsia nasal está usualmente diminuída^(13,21-23).

O diagnóstico definitivo deve ser realizado através do estudo da ultra-estrutura, da orientação e da função ciliar⁽²²⁾ (Figura 4).

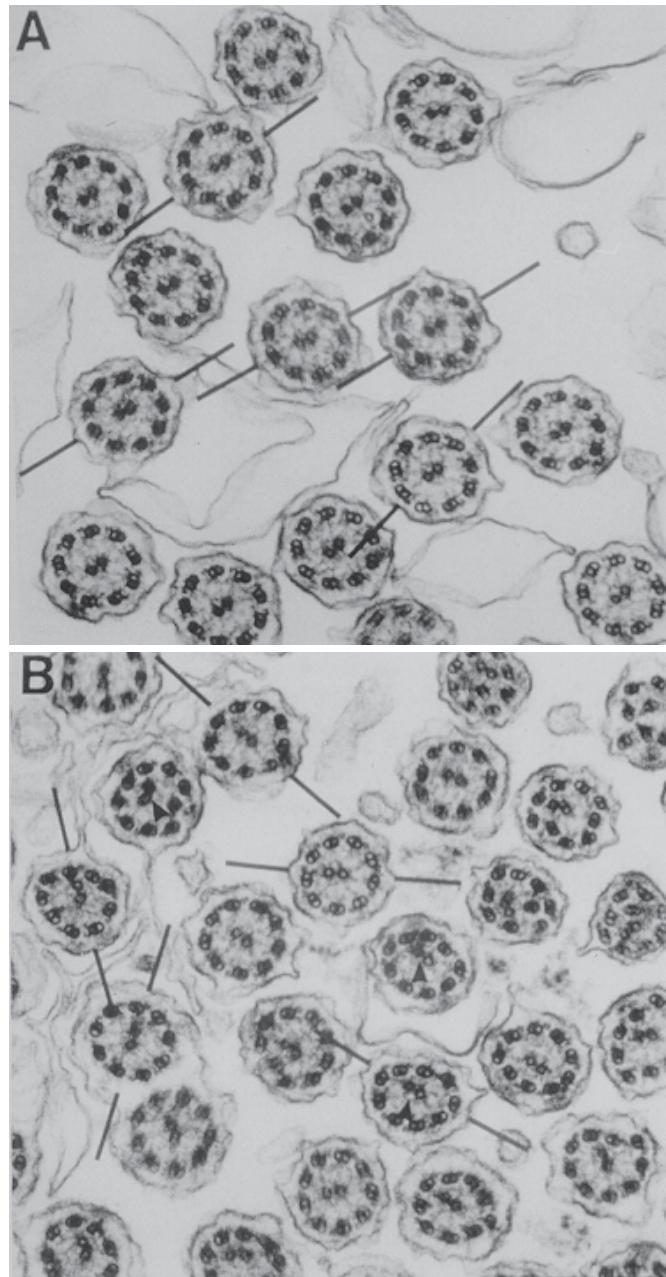


Figura 5 – Análise estrutural e de orientação ciliar à microscopia eletrônica de espécime clínico obtido através de biópsia endobrônquica. A) orientação normal. B) orientação ciliar com ângulo de inclinação em relação à linha de base superior a 29°.

O número de braços de dineína (tanto internos quanto externos), assim como a orientação ciliar, devem ser analisados em primeiro lugar e, sob forma estatística, outras anormalidades como defeitos de microtúbulos e de cílios compostos podem estar presentes, mas são pouco específicos, uma vez que podem ser encontrados em indivíduos saudáveis e representarem alterações secundárias⁽²²⁾.

^{24,25}. A orientação ciliar é analisada através de uma linha traçada sobre os pares centrais, com a aferição do ângulo de inclinação em relação a uma linha de base, devendo permanecer o desvio inferior a 29° nos indivíduos normais^{22,26} (Figura 5). As principais alterações estruturais encontradas na DCP estão sumarizadas na Tabela 1.

Para a avaliação ultra-estrutural, a obtenção dos espécimes clínicos deve obedecer a alguns critérios: 1) o material deve ser obtido preferencialmente através de bióp-

sias do trato respiratório inferior^(15,27); 2) os pacientes com infecção bacteriana deverão receber antibioticoterapia por quatro a seis semanas antes da coleta do material⁽¹³⁾; 3) o material destinado à microscopia eletrônica deve ser processado conforme técnica descrita⁽²²⁾.

As alterações secundárias, que consistem predominantemente em defeitos microtubulares, podem ocorrer em até 10% dos indivíduos normais, como consequência de processos infecciosos, tabagismo ou poluentes^(22,24,25).

A cultura de cílios *in vitro* foi descrita recentemente e tem valor na diferenciação entre anormalidades secundárias e DCP, principalmente quando a avaliação ultra-estrutural for inconclusiva^(10,28,29).

O diagnóstico diferencial deve ser feito com doenças que podem apresentar quadro clínico semelhante ao da DCP, como fibrose cística, imunodeficiências (principalmente de complemento, IgG e neutrófilos), deficiência de α-1-antitripsina e síndrome de Young (Tabela 2)⁽³⁰⁾.

CASOS ILUSTRATIVOS

Caso 1: Paciente branco, 47 anos, tabagista com história de tosse produtiva crônica, expectoração purulenta abundante, cefaléia frontal e dor em região malar. Desde a infância apresentou vários episódios de sinusite, pneumonia e otite média. Ao exame: hipocratismo digital, sibilos difusos e estertores crepitantes em ambas as bases pulmonares. Espirometria revelou moderada obstrução sem resposta a terapia broncodilatadora. Radiografia de

TABELA 2
Diagnóstico diferencial em discinesia ciliar primária

Achados	DCP	FC	Imunodeficiências	S. de Young
Estabelecimento dos sintomas	Nascimento	Nascimento	Infância	Nascimento/infância
Padrão genético	Autossômico recessivo	Autossômico recessivo	Depende da condição	?
<i>Situs inversus</i>	Em 50%	Não	Não	Não
Rinorréia	+++	+	++/+++	+
Sinusite	+++	++	+++	+++
Otite média	+++	+	+++	+ (?)
Bronquiectasias	LI > LS	LS > LI	LI > LS	LI > LS
Pólipos nasais	++	+++	-	-
Espermatozoides	Imóveis	Ausentes	Normais	Ausentes
Outros	Os homens com <i>situs inversus</i> têm o testículo direito mais baixo	Má absorção; gosto anormal para sabores doces	Infecções oportunistas, fenômenos auto-imunes, ↑ de linfonodos (HIV), ↓ de tecido linfóide (deficiência de células B)	Epidídimos dilatados
Hipocratismo digital	+/-	+++	-/+	+

N: normal; +: leve; ++: moderado; +++: intenso. LI: lobo inferior; LS: lobo superior. HIV: vírus da imunodeficiência humana.

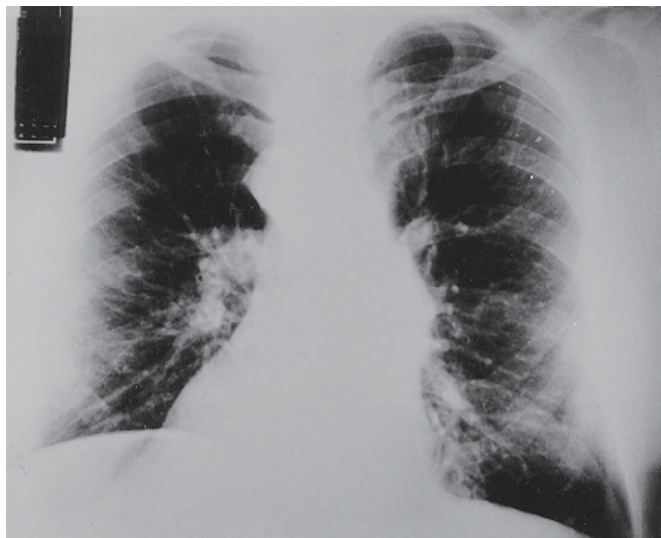


Figura 6 – Radiografia de tórax com situs inversus, hiperinsuflação pulmonar, cúpulas frênicas rebaixadas e retificadas, espessamento parietal brônquico e opacidades basais

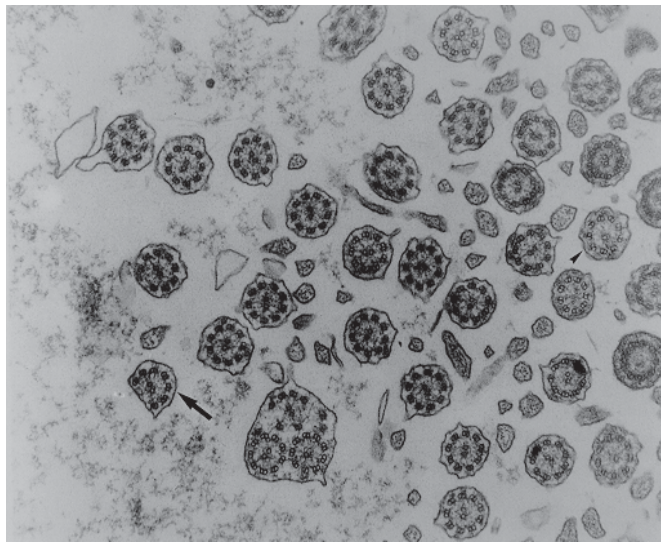


Figura 8 – Defeitos na ultra-estrutura ciliar (diminuição do número de braços de dineína, cílios compostos) observados à microscopia eletrônica, biópsia endobrônquica

seios da face evidenciou redução da transparência etmooidal e velamento dos seios maxilares. Radiografia de tórax com *situs inversus*, hiperinsuflação pulmonar, cúpulas frênicas rebaixadas e retificadas, espessamento parietal brônquico com opacidades basais (Figura 6). A tomografia computadorizada de tórax evidenciou extensas bronquiectasias (Figura 7). Exame de sêmen com azoospermia. Espécime clínico obtido através de biópsia endobrônquica observado à microscopia eletrônica foi compatível com DCP (Figura 8).

266

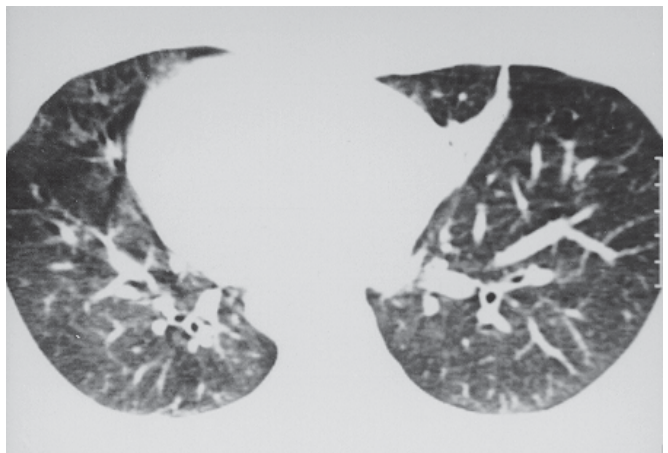


Figura 7 – TC de tórax com extensas bronquiectasias



Figura 9 – Radiografia de tórax com hiperinsuflação pulmonar, presença de áreas bolhosas em lobos superiores

Caso 2: Paciente masculino, branco, 14 anos, com história de sinusite crônica e pneumonias de repetição desde um ano de idade. Ao exame físico apresentou comprometimento do desenvolvimento pôndero-estatural (abaixo do percentil 5), hipocratismo digital e estertoração difusa. Radiografia de tórax com hiperinsuflação pulmonar e presença de extensas áreas bolhosas em lobos superiores, algumas com níveis hidroaéreos (Figura 9).

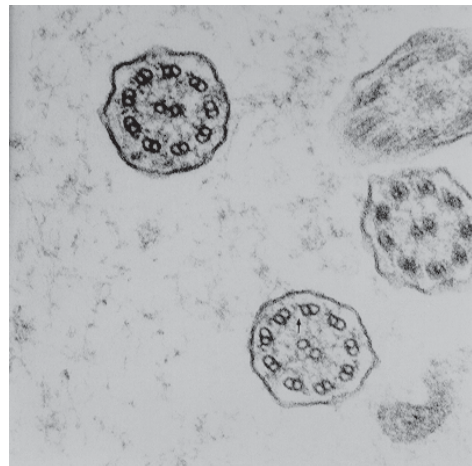


Figura 10
Defeitos
ultra-estruturais
ciliares
(diminuição
no número de
braços de
dineína) em
espécime obtido
por biópsia
endobrônquica,
observados à
microscopia
eletrônica

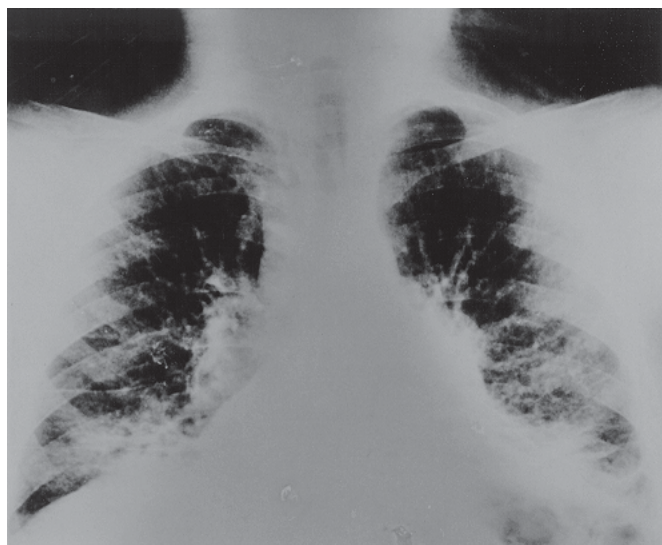


Figura 11 – Radiografia de tórax com pulmões hipoexpandidos e infiltrados parenquimatosos basais

Radiografia de seios da face apresentava velamento de seios maxilares, células etmoidais e seio frontal. Espirometria com obstrução grave e diminuição da capacidade vital forçada, com resposta ao broncodilatador. Investigação para fibrose cística, deficiência de alfa-1-antitripsina e deficiência de imunoglobulinas, negativa. Análise de espécime clínico obtido por biópsia endobrônquica à microscopia eletrônica evidenciou grande número de defeitos ultra-estruturais e braços de dineína em número reduzido (Figura 10), compatíveis com DCP.

Caso 3: Paciente branca, 17 anos, com história de cefaléia e sinusite crônica, otite média recorrente, tosse com expectoração purulenta abundante e vários episódios de pneumonia desde idade pré-escolar. Não era tabagista e não fazia uso de qualquer medicação. Ao exame físico apresentava comprometimento do desenvolvimento

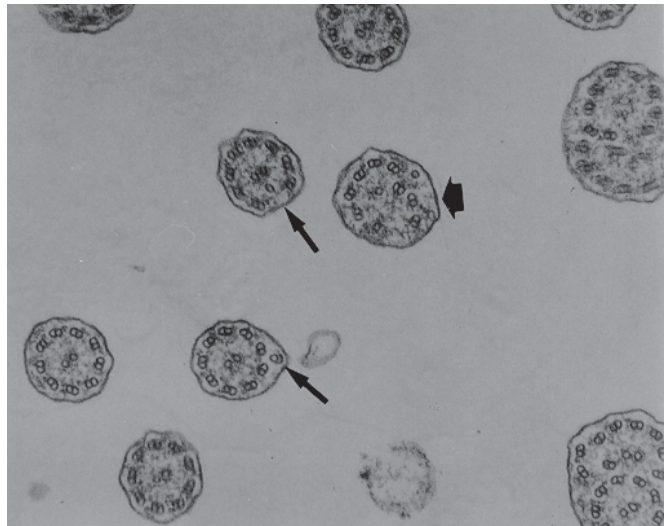


Figura 12 – Microscopia eletrônica: diminuição do número de braços de dineína, transposição de microtúbulos e cílios compostos.

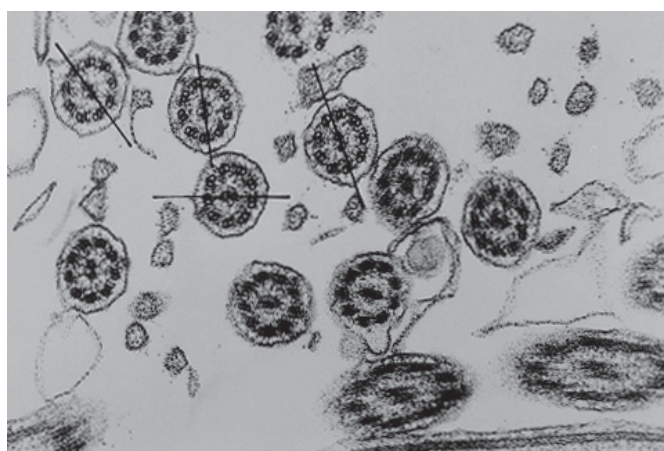


Figura 13 – Microscopia eletrônica: desorientação ciliar; os demais achados também foram compatíveis com DCP.

mento pôndero-estatural (abaixo do percentil 5), hipocratismo digital e estertores bibasais. Radiografia de seios da face com velamento dos seios maxilares e etmoidais. Radiografia de tórax com pulmões hipoexpandidos com infiltrados parenquimatosos basais (Figura 11). Tomografia de mastóide com esclerose e opacificação total das células aéreas. Espirometria demonstrou grave obstrução, com diminuição da capacidade vital forçada, sem resposta ao broncodilatador. Teste de suor e cariótipo negativos para fibrose cística. Análise ultra-estrutural de espécime clínico à microscopia eletrônica apresentou ausência de braços de dineína, cílios compostos e transposição de microtúbulos (Figura 12).

Caso 4: Paciente feminina, 52 anos, com história crônica de sinusopatia, tosse com expectoração purulenta e

várias internações hospitalares por infecções respiratórias de repetição. Ao exame apresentava hipocratismo digital, estertores bibasais e sibilos difusos. Radiografia de tórax com *situs inversus* e tomografia computadorizada de tórax evidenciando bronquiectasias. A análise de espécime clínico obtido por biópsia endobrônquica e observado à microscopia eletrônica apresentou defeitos ultraestruturais e desorientação ciliar (Figura 13).

TRATAMENTO

O objetivo é o tratamento precoce das infecções de vias aéreas superiores e ouvido médio e a prevenção do desenvolvimento de complicações como déficit auditivo e bronquiectasias^[10,13,14].

Medidas gerais incluem acompanhamento permanente, imunizações da infância (com imunização também para pneumococo e influenza), tratamento prolongado com antibióticos para infecções por pneumococo, *H. influenzae*, *S. aureus* e, às vezes, *P. aeruginosa*, e fisioterapia respiratória através de drenagem postural^[13].

O controle da função auditiva requer atenção especial ao tratamento adequado da otite media e também a realização de testes de audiometria, para avaliar a possibilidade de perda funcional^[13,14]. Podem ser necessários procedimentos como timpanostomia para inserção de tubos de ventilação; tonsilectomia; adenoidectomia; e ainda trepanação dos seios da face, o que melhoraria a drenagem, aeração e acesso às medicações^[14].

O tratamento cirúrgico, com a ressecção dos segmentos com bronquiectasias, pode ser uma alternativa para doença grave refratária ao tratamento clínico das infecções^[31].

PROGNÓSTICO

É geralmente bom e a grande maioria dos pacientes tem expectativa de vida normal. No entanto, podem ocorrer óbitos em neonatos, em indivíduos com diagnóstico tardio ou que não seguem manejo clínico adequado. Portanto, o prognóstico é dependente do diagnóstico precoce e do seguimento clínico adequado^[13].

REFERÊNCIAS

1. Sturgess JM, Thompson MW, Czegledy-Nagy E, Turner JP. Genetics aspects of immotile cilia syndrome. Am J Med Genet 1986;25:149-160.
2. Meeks M, Walne A, Spiden S, et al. A locus for primary ciliary dyskinesia maps to chromosome 19q. J Med Genet 2000;37:241-244.
3. Siewert A. Über einen Fall von Bronchiectasie bei einem Patienten mit situs inversus viscerum. Berl Klin Wochenschr 1904;41:139-141.
4. Kartagener M. Bronchiectasien bei situs viscerum inversus. Beitr Klin Tuberk 1935;83:489-501.
5. Afzelius BA. A human syndrome caused by immotile cilia. Science 1976;193:317-319.
6. Sleigh M. Primary ciliary dyskinesia. Lancet 1981;476.
7. Rutland J, De longh RU. Random ciliary orientation. N Engl J Med 1990;323:1681-1684.
8. Rutman A, Cullinan P, Woodhead M, Cole PJ, Wilson R. Ciliary disorientation: a possible variant of primary ciliary dyskinesia. Thorax 1993; 48:770-771.
9. Rayner CJF, Rutman A, Dewar A, Cole PJ, Wilson R. Ciliary disorientation in patients with chronic upper respiratory tract inflammation. Am J Crit Care Med 1995;151:800-804.
10. Jorissen M, Bertrand B. Ciliary dyskinesia in the nose and the paranasal sinuses. Acta Otorhinolaryngol Belg 1997;51:353-356.
11. Afzelius BA. Basal bodies in the immotile cilia syndrome. J Submicrosc Cytol 1983;15:111-114.
12. Rossman CM, Forrest JB, Lee RMK, Newhouse AF, Newhouse MT. Abnormal ciliary motility in association with abnormal ciliary ultrastructure. Chest 1981;80:860-864.
13. Bush A, Cole P, Hariri M, Phillips G, et al. Primary ciliary dyskinesia: diagnosis and standards of the care. Eur Respir J 1998;12:982-988.
14. Ernstson S, Afzelius BA, Mossberg B. Otolologic manifestation of the immotile cilia syndrome. Acta Otolaryngol (Stockh) 1984;97:83-92.
15. Turner PJ, Corkey CWB, Lee JYC, Levison H, Sturgess J. Clinical expressions of immotile cilia syndrome. Pediatrics 1981;67:805-809.
16. Perraudeau M. Late presentation of Kartagener's syndrome. Br Med J 1994;308:519-521.
17. Munro NC, Currie DC, Lindsay KS, et al. Fertility in man with primary ciliary dyskinesia presenting with respiratory infection. Thorax 1994; 49:684-687.
18. Nadel HR, Stringer DA, Levison H, et al. The immotile cilia syndrome: radiological manifestations. Radiology 1985;154:651.
19. Tsang KW, Ip M, Ooi CG, Wong MP, et al. Kartagener's syndrome: a re-visit with Chinese perspectives. Respirology 1998;3:107-112.
20. Cartier Y, Kavanagh PV, Johkoh T, Mason AC, Müller NL. Bronchiectasis: accuracy of high-resolution CT in the differentiation of specific diseases. Am J Roentgenol 1999;173:47-52.
21. Karadag B, James AJ, Gultekin E, Wilson N, Bush A. Nasal and lower airway level of nitric oxide in children with primary ciliary dyskinesia. Eur Respir J 1999;13:1402-1406.
22. longh RUD, Rutland J. Ciliary defects in healthy subjects, bronchiectasis and primary ciliary dyskinesia. Am J Respir Crit Care Med 1995; 151:1559-1567.
23. Rutland J, Griffin W, Cole P. Nasal brushing and measurement of ciliary beat frequency. Chest 1981;80:865-867.
24. Boat TF, Carson JL. Ciliary dysmorphology and dysfunction – Primary or acquired? N Engl J Med 323:1700-1702.
25. Carson JC, Cilier AM, Hu SS. Acquired ciliary defects in nasal epithelium of children with acute viral upper respiratory infections. N Engl J Med 1985;312:463-468.
26. Rayner CJF, Rutman A, Dewar A, Greenstone MA, Cole PJ, Wilson R. Ciliary disorientation alone as a cause of primary ciliary dyskinesia. Am J Respir Crit Care Med 1996;153:1123-1129.
27. Rooklin AR, McGready SJ, Mikaelian DO, et al. The immotile cilia syndrome: a cause of recurrent pulmonary disease in children. Pediatrics 1980;66:526-531.
28. Jorissen M, Willems T, van der Scheren B, Verbeken E. Secondary ciliary dyskinesia is absent after ciliogenesis in culture. Acta Otorhinolaryngol Belg 2000;54:333-342.
29. Jorissen M, Willems T, Van der Scheren B, Verbeken E, De Boek K. Ultrastructural expression of primary ciliary dyskinesia after ciliogenesis in culture. Acta Otorhinolaryngol Belg 2000;54:343-356.
30. Holzmann D, Ott PM, Felix H. Diagnostic approach to primary ciliary dyskinesia: a review. Eur J Pediatr 2000;159:95-98.
31. Smit HJM, Schreurs AJM, van den Bosch JMM, Westermann CJJ. Is resection of bronchiectasis beneficial in patients with primary ciliary dyskinesia? Chest 1996;109:1541-1545.